



Universidade Estadual de Campinas

Projeto Supervisionado

Um método iterativo para encontrar projeção em um politopo

Letícia de Faria Correia

Orientadora: Prof^a Dr^a Sandra Augusta Santos

Instituto de Matemática, Estatística e Computação Científica

Campinas - SP

15 de junho de 2018

Sumário

1	Introdução	5
2	O algoritmo de Projeção em Politopos	5
2.1	Teoria	5
2.2	O algoritmo	8
2.3	Convergência	8
3	Análise do algoritmo	9
3.1	A Projeção P_{K_i}	9
3.2	O operador $G_\lambda = \frac{I - P_{K_i}}{\lambda}$	11
3.3	O código implementado	11
3.4	Triângulo Equilátero	16
3.4.1	Teste 1: Comportamento da solução ao variar o parâmetro λ	17
3.4.2	Teste 2: Comportamento da solução ao variar os vetores $p_i^0, i = 1, 2, 3$	17
3.5	Quadrilátero	24
3.5.1	Teste 1: Comportamento da solução ao variar o parâmetro λ	25
3.5.2	Teste 2: Comportamento da solução ao variar os vetores $p_i^0, i = 1, 2, 3, 4$	25
4	Resultados obtidos e considerações finais	30
4.1	A variação de λ	30
4.2	A variação dos vetores $p_i^0, i = 1, \dots, s$	30
4.3	Planos futuros	30
	Referências	32

Lista de Figuras

1	Diferentes pontos de vista de um mesmo objeto.(Fonte: https://meucerebro.com/certo-ou-errado-tudo-e-uma-questao-de-ponto-de-vista/)	5
2	Politopo no R^2	6
3	Politopo no R^3	6
4	Projeção do ponto $z \notin K_i$ na face K_i	10
5	Politopo T : Triângulo Equilátero.	16
6	Visualização dos iterados x^m para a inicialização $p_1^0 = (1, 0)^T, p_2^0 = (0.5, 0.5)^T$ e $p_3^0 = (0, 1)^T$ ao longo das 62 iterações durante o Teste 2 no politopo T	18
7	$ x^{m+1} - x^m $ na escala logaritmica durante o Teste 2 no politopo T para a inicialização $p_1^0 = (1, 0)^T, p_2^0 = (0.5, 0.5)^T$ e $p_3^0 = (0, 1)^T$ ao longo das 62 iterações.	18
8	Visualização dos iterados x^m para a inicialização $p_1^0 = p_2^0 = p_3^0 = (0, 0)^T$ ao longo das 61 iterações durante o Teste 2 no politopo T	19
9	$ x^{m+1} - x^m $ na escala logaritmica durante o Teste 2 no politopo T para a inicialização $p_1^0 = p_2^0 = p_3^0 = (0, 0)^T$ ao longo das 61 iterações.	20
10	Visualização dos iterados x^m para a inicialização $p_1^0 = (2, 1)^T, p_2^0 = (4, 11)^T$ e $p_3^0 = (7, -1)^T$ ao longo das 73 iterações durante o Teste 2 no politopo T	21
11	$ x_{m+1} - x_m $ na escala logaritmica durante o Teste 2 no politopo T para a inicialização $p_1^0 = (2, 1)^T, p_2^0 = (4, 11)^T$ e $p_3^0 = (7, -1)^T$ ao longo das 73 iterações.	21
12	Visualização dos iterados x^m para a inicialização $p_1^0 = (12, 0)^T, p_2^0 = (-1, -3)^T$ e $p_3^0 = (0, 7)^T$ ao longo das 62 iterações durante o Teste 2 no politopo T	22
13	$ x_{m+1} - x_m $ na escala logaritmica durante o Teste 2 no politopo T para a inicialização $p_1^0 = (12, 0)^T, p_2^0 = (-1, -3)^T$ e $p_3^0 = (0, 7)^T$ ao longo das 62 iterações.	23
14	Politopo Q : Quadrilátero.	24
15	Visualização dos iterados x^m para a inicialização $p_1^0 = (2, 1)^T, p_2^0 = (4, 11)^T, p_3^0 = (7, -1)^T$ e $p_4^0 = (1, 1)^T$ ao longo das 48 iterações durante o Teste 2 no politopo Q	26
16	$ x_{m+1} - x_m $ na escala logaritmica durante o Teste 2 no politopo Q para a inicialização $p_1^0 = (2, 1)^T, p_2^0 = (4, 11)^T, p_3^0 = (7, -1)^T$ e $p_4^0 = (1, 1)^T$ ao longo das 48 iterações.	27
17	Visualização dos iterados x^m para a inicialização $p_1^0 = (12, 0)^T, p_2^0 = (-1, -3)^T, p_3^0 = (0, 7)^T$ e $p_4^0 = (2, 5)^T$ ao longo das 50 iterações durante o Teste 2 no politopo Q	28

- 18 $|x_{m+1} - x_m|$ na escala logaritmica durante o Teste 2 no politopo Q para a inicialização $p_1^0 = (12, 0)^T, p_2^0 = (-1, -3)^T, p_3^0 = (0, 7)^T$ e $p_4^0 = (2, 5)^T$ ao longo das 50 iterações. 29

Lista de Tabelas

1	Solução $(x^*)^T$ e os vetores finais obtidos $(p_i^*)^T, i = 1, 2, 3$ durante o Teste 1 no politopo T	17
2	Comportamento da solução $(x^*)^T$ para os vetores iniciais $p_1^0 = (1, 0)^T, p_2^0 = (0.5, 0.5)^T$ e $p_3^0 = (0, 1)^T$ no politopo T durante o Teste 2.	17
3	Comportamento da solução $(x^*)^T$ para os vetores iniciais $p_1^0 = p_2^0 = p_3^0 = (0, 0)^T$ no politopo T durante o Teste 2.	19
4	Comportamento da solução $(x^*)^T$ para os vetores iniciais $p_1^0 = (2, 1)^T, p_2^0 = (4, 11)^T$ e $p_3^0 = (7, -1)^T$ no politopo T durante o Teste 2.	20
5	Comportamento da solução $(x^*)^T$ para os vetores iniciais $p_1^0 = (12, 0)^T, p_2^0 = (-1, -3)^T$ e $p_3^0 = (0, 7)^T$ no politopo T durante o Teste 2.	22
6	Solução $(x^*)^T$ e os vetores finais obtidos $(p_i^*)^T, i = 1, 2, 3, 4$ durante o Teste 1 no politopo Q	25
7	Comportamento da solução $(x^*)^T$ para a inicialização $p_1^0 = (2, 1)^T, p_2^0 = (4, 11)^T, p_3^0 = (7, -1)^T$ e $p_4^0 = (1, 1)^T$ no politopo Q durante o Teste 2. . . .	25
8	Comportamento da solução $(x^*)^T$ para a inicialização $p_1^0 = (12, 0)^T, p_2^0 = (-1, -3)^T, p_3^0 = (0, 7)^T$ e $p_4^0 = (2, 5)^T$ no politopo Q durante o Teste 2. . . .	27

1 Introdução

Em algumas situações do cotidiano nos deparamos com muitos objetos com formatos diferentes. Em outras, simplesmente visualizamos o mesmo de maneiras diversas, proporcionando-nos a impressão de que se tratam de objetos distintos. Esse é o caso ilustrado na Figura 1.

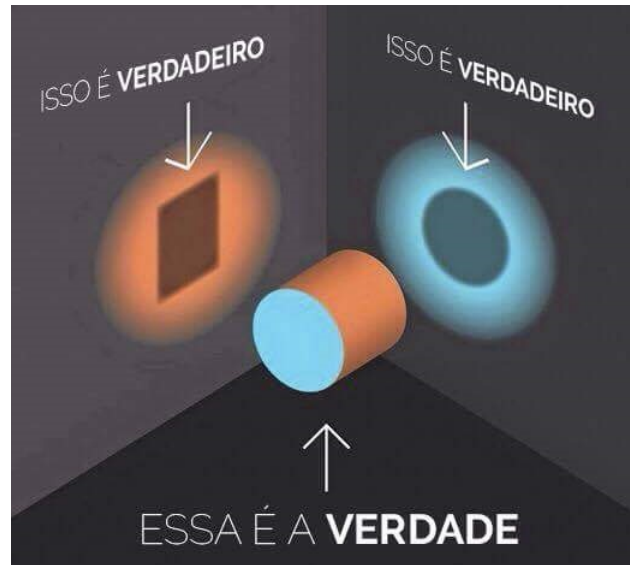


Figura 1: Diferentes pontos de vista de um mesmo objeto. (Fonte: <https://meucerebro.com/certo-ou-errado-tudo-e-uma-questao-de-ponto-de-vista/>)

Nesta perspectiva, este trabalho tem a intenção de investigar como é a Projeção em Polítopos na Matemática através da análise de alguns aspectos do Algoritmo de Projeção em Polítopos proposto no artigo [5].

2 O algoritmo de Projeção em Polítopos

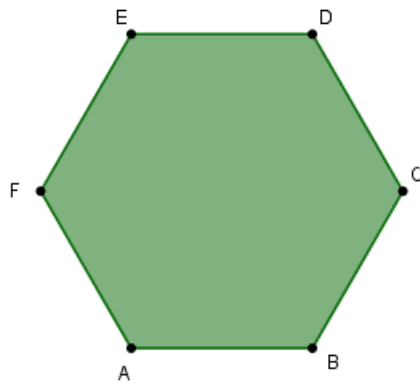
2.1 Teoria

O algoritmo investigado neste trabalho foi proposto por *Llanas e Moreno* em [5] e considera os seguintes conceitos e notações:

Politopo. Seja K um politopo delimitado pelo conjunto $\{\pi_i, i = 1, \dots, s\}$ de hiperplanos. Denotando por $\{K_i, i = 1, \dots, s\}$ o semiplano associado, o politopo é

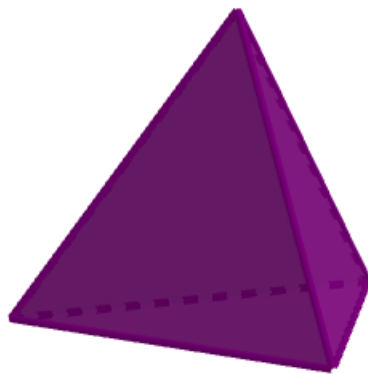
descrito por:

$$K = \bigcap_{i=1}^s K_i.$$



Hexágono regular

Figura 2: Politopo no R^2 .



Tetraedro

Figura 3: Politopo no R^3 .

Cone Normal. Para todo $x \in K$, o cone normal a K em x é definido como:

$$N_K(x) = \{z : z \cdot (y - x) \leq 0, \forall y \in K\}$$

onde \cdot é o produto interno em R^n .

Projeção no politopo K . A projeção de z em K é dada por $x = P_K(z)$ se, e somente se,

$$(z - x) \cdot (y - x) \leq 0, \forall y \in K.$$

Considerando a definição de cone normal, temos que valem os seguintes resultados, cujas provas podem ser vistas em [4]:

$$x = P_K(z) \Leftrightarrow z - x \in N_K(x). \quad (1)$$

Lema 1. Se para todo $i = 1, \dots, s$, K_i é um conjunto convexo fechado em R^n , e o interior de $K = \bigcap_{i=1}^s K_i$ é não vazio, então

$$N_K(x) = \sum_{i=1}^s N_{K_i}(x), \forall x \in K.$$

Lema 2. Seja K um conjunto convexo fechado em R^n . Então $\forall x \in K$, temos que

$$p \in N_K(x) \Leftrightarrow x = P_K(x + \lambda p), \forall \lambda > 0. \quad (2)$$

Reescrevendo o resultado 1, temos:

$$z - x = p, \quad p \in N_K(x). \quad (3)$$

Deste modo, considerando o **Lema 1**, temos:

$$z - x = p, \quad p \in \sum_{i=1}^s N_{K_i}(x).$$

De acordo com os resultados anteriores, podemos escrever p como:

$$p = \sum_{i=1}^s p_i,$$

onde $p_i \in N_{K_i}(x)$. Pelo **Lema 2**, temos que a relação 1 pode ser escrita como:

$$z - x = \sum_{i=1}^s p_i. \quad (4)$$

Temos, portanto,

$$z - \sum_{i=1}^s p_i = x = P_K(z),$$

em que $P_K(z)$ denota a projeção de z no politopo K .

Partindo da relação 2, temos

$$x = P_{K_i}(x + \lambda p_i), i = 1, \dots, s,$$

em que λ é um escalar positivo.

Após alguma manipulação algébrica, chegamos na seguinte relação do tipo ponto fixo, e na qual se baseará o algoritmo:

$$p_i = \frac{I - P_{K_i}}{\lambda}(x + \lambda p_i), i = 1, \dots, s. \quad (5)$$

2.2 O algoritmo

Embasados nos resultados acima, temos:

Algoritmo. Dados o vetor a ser projetado $z \in R^n$, o escalar $\lambda \in R_+$ e p_1^0, \dots, p_s^0 , vetores arbitrários em R^n , tome $m = 0$ e calcule $P_K(z)$ fazendo iterativamente os seguintes passos:

$$z - x^m = \sum_{i=1}^s p_i^m, \quad (6)$$

$$p_i^{m+1} = \frac{I - P_{K_i}}{\lambda}(x^m + \lambda p_i^m), i = 1, \dots, s, \quad (7)$$

$$m = m + 1.$$

Para cada iteração do algoritmo, temos que encontrar s projeções diretas p_i em cada um dos K_i hiperplanos que compõem K para obter, iterativamente, a projeção $x = P_K(z)$.

2.3 Convergência

A convergência do algoritmo é garantida de acordo com o seguinte teorema:

Teorema 1. Se $\lambda > \frac{s}{2}$, então $x^m \rightarrow x = P_K(z)$.

A prova do resultado pode ser encontrada em [5].

3 Análise do algoritmo

Polígonos são os exemplos mais simples que temos de politopos. Considerando este fato, os primeiros objetos estudados foram um triângulo equilátero e um quadrilátero. O processo de investigação do algoritmo a partir deles consistiu em três etapas:

1. Estudo da teoria envolvida;
2. Programação do algoritmo;
3. Testes para investigar o comportamento da solução em cada um dos dois politopos.

Na primeira analisamos os resultados expostos na **seção 2** e observamos um pouco mais de perto como atuam os operadores P_{K_i} e $G_\lambda = \frac{(I - P_{K_i})}{\lambda}$ em função de cada politopo K . Isso porque para a implementação do algoritmo fez-se necessário compreendê-los corretamente.

3.1 A Projeção P_{K_i}

Um politopo $K \in R^n$, limitado por s hiperplanos, é regido por um conjunto de desigualdades lineares, e pode ser expresso como:

$$K = \{x \in R^n \mid Ax \leq b\}, \quad (8)$$

em que $A \in R^{s \times n}$ e $b \in R^{s \times 1}$.

Consequentemente, cada semi-espço K_i de um politopo K é tal que

$$a_i x \leq b_i, \quad (9)$$

onde a_i é a i -ésima linha da matriz A e b_i é a i -ésima componente do vetor b .

Sendo assim, dado um ponto z tal que $z \notin K_i$, para calcularmos $x = P_{K_i}(z) = x$ e , temos que considerar as seguintes relações:

$$a_i^T x = b_i \quad (10)$$

e

$$\exists \alpha \text{ tal que } x = a_i \alpha + z, \quad \alpha \in R, \quad z \in R^n, \quad a_i \in R^n \quad (11)$$

De 10 e 11 temos:

$$\begin{aligned} a_i^T(ai\alpha + z) &= b_i \Rightarrow \\ \Rightarrow (a_i^T a_i)\alpha + a_i^T z &= b_i \Rightarrow \\ \Rightarrow (a_i^T a_i)\alpha &= b_i - a_i^T z \Rightarrow \end{aligned}$$

$$\alpha = \frac{(b_i - a_i^T z)}{(a_i^T a_i)} z \quad (12)$$

Portanto,

$$x = a_i\alpha + z = \frac{(b_i - a_i^T z)}{(a_i^T a_i)} a_i + z,$$

ou seja,

$$P_{K_i}(z) = \frac{(b_i - a_i^T z)}{(a_i^T a_i)} a_i + z, \forall z \notin K_i \quad (13)$$

Para $z \in K_i, P_{K_i} = z$.

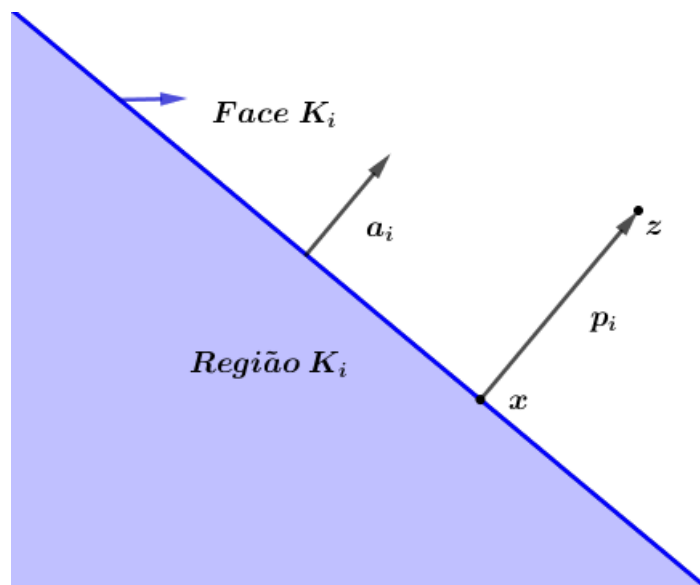


Figura 4: Projeção do ponto $z \notin K_i$ na face K_i .

3.2 O operador $G_\lambda = \frac{I - P_{K_i}}{\lambda}$

Para encontrar a expressão de $G_\lambda = \frac{I - P_{K_i}}{\lambda}$, consideremos o valor de P_{K_i} em 13 e vejamos como o operador atua em um vetor $y \in R^n$:

$$G_\lambda(y) = \frac{I - P_{K_i}}{\lambda}(y) = \frac{1}{\lambda} \left[y - \frac{(b_i - a_i^T y)}{a_i^T a_i} a_i - y \right]$$
$$G_\lambda(y) = \frac{I - P_{K_i}}{\lambda}(y) = \frac{(a_i^T y - b_i)}{(\lambda a_i^T a_i)} a_i. \quad (14)$$

3.3 O código implementado

O código para a realização dos testes foi implementado no software *GNU Octave* [2]. Para a visualização dos objetos utilizamos o *GeoGebra* [1] e o *Wolfram Mathematica* [3].

A estrutura foi montada para os testes serem realizados para qualquer polítopo $K \subset R^n$ e com qualquer número s de faces, bastando apenas que o valor de s e n sejam dadas inicialmente.

Contudo, para cada teste é necessário estabelecer as desigualdades $Ax \leq b$, que definem o polítopo está sujeito, ou seja, determinar a matriz $A \in R^{s \times n}$ e o vetor $b \in R^{s \times 1}$.

É importante também definir o ponto a ser projetado z , bem como P (matriz cuja i -ésima linha é o vetor p_i^0) e l (λ do algoritmo), sendo esses últimos parâmetros livres, ou seja, que podem ser determinados de maneira arbitrária.

Para a observação disso, seguem abaixo os códigos para um dos testes de cada um dos dois polítopos estudados.

```

1 %Projecoes em poligonos (RN)
2 s=3;%qtde de hiperplanos do politopo
3 n=2;%dimensao do politopo
4
5 %Exemplo 1: Triangulo
6 z=[2; 0];%z dado
7 P=[1 0; 1/2 1/2; 0 1]; %P matriz onde cada linha i corresponde e ao
   valor de  $\pi^i$  dado
8 A=[-sqrt(3) 1; sqrt(3) 1; 0 -1]; %A precisa ser determinada
9 b=[0; sqrt(3); 0]; %b precisa ser determinado
10
11 x=zeros(n,1); %x e a projecao de z no politopo K
12 xant=z; %x na iteracao anterior
13 aux1=zeros(n,1); %vetor auxiliar no Passo 1
14 aux3=x-xant; % diferenca entre x e xant.
15 auxproj=zeros(n,1); %vetor auxiliar no Passo 2
16 aux2=zeros(n,1);%vetor auxiliar no Passo 2
17 l=2; %valor de lambda
18 tol=0.00000001; %tolerancia
19 itmax=100; %numero maximo de iteracoes caso ainda nao tenha
   encontrado
20
21 c=zeros(itmax,1);%Vetor auxiliar para plotar  $|x^{(m+1)} - x^{(m)}|$ 
22
23 P %Imprime P na janela de comandos
24
25 j = 1;
26 while ((norm(aux3,inf)>=tol) && (j < itmax))
27
28     %Passo 1: Encontrar  $x_n$ 
29     aux1=zeros(n,1);
30     for i=1:s
31         aux1= aux1+P(i,:)' ;
32     end
33     xant=x;
34     x=z-aux1;
35     aux3 = x-xant;

```

```

36
37     if(j>2)
38         c(j) = norm(aux3,inf);
39     endif
40
41     for(v=1:n)
42         printf("Na iteracao %i, temos x(%i)= %f\n", j, v, x(v));
43     end
44
45     P'
46
47     %Passo 2: Encontrar os Pi na iteracao n+1
48     for k=1:s
49         %Calculo do vetor x+l*pi;
50         auxproj=x+l*P(k,:)' ;
51         %Verificando se o vetor calculado esta na regio que satisfaz
52         %as desigualdades
53         aux2=A(k,:)*auxproj;
54
55         if(aux2<=b(k))
56             P(k,:) =zeros(n,1);
57         else
58             P(k,:)=((A(k,:)*auxproj-b(k))/(l*A(k,:)*A(k,:)'))*A(k
59             ,:);
60         end
61     end
62     end
63
64     j++
65 endwhile
66
67 %norma de x-xant
68 semilogy(c(3:j-1));

```

```

1 %Projecoes em poligonos (RN)
2 s=4;%qtde de hiperplanos do politopo
3 n=2;%dimensao do politopo
4
5 %Exemplo 2: Quadrilatero
6 z=[11;0];
7 P =[2 1; 4 11; 7 -1; 1 1];%P matriz onde cada linha i corresponde ao
   valor de  $\pi^0$  dado
8 A=[7 9; 1 -6; -1 -1; -5 7]; %A precisa ser determinada
9 b=[50; 29; 6; 18]; %b precisa ser determinado
10
11 x=zeros(n,1); %x e a projecao de z no politopo K
12 xant=z; %x na iteracao anterior
13 aux1=zeros(n,1); %vetor auxiliar no Passo 1
14 aux3=x-xant; % diferenca entre x e xant.
15 auxproj=zeros(n,1); %vetor auxiliar no Passo 2
16 aux2=zeros(n,1);%vetor auxiliar no Passo 2
17 l=2.1; %valor de lambda
18 tol=0.00000001; %tolerancia
19 itmax=100; %numero maximo de iteracoes caso ainda nao tenha
   encontrado
20
21 c=zeros(itmax,1);%Vetor auxiliar para plotar  $|x(m+1) - x(m)|$ 
22
23 P %Imprime P na janela de comandos
24
25 j = 1;
26 while ((norm(aux3,inf)>=tol) && (j < itmax))
27
28     %Passo 1: Encontrar  $x_n$ 
29     aux1=zeros(n,1);
30     for i=1:s
31         aux1= aux1+P(i,:)' ;
32     end
33     xant=x;
34     x=z-aux1;
35     aux3 = x-xant;

```

```

36
37     if(j>2)
38         c(j) = norm(aux3,inf);
39     endif
40
41     for(v=1:n)
42         printf("Na iteracao %i, temos x(%i)= %f\n", j, v, x(v));
43     end
44
45     P'
46
47     %Passo 2: Encontrar os Pi na iteracao n+1
48     for k=1:s
49         %Calculo do vetor x+l*pi;
50         auxproj=x+l*P(k,:)' ;
51         %Verificando se o vetor calculado esta na regio que satisfaz
52         %as desigualdades
53         aux2=A(k,:)*auxproj;
54
55         if(aux2<=b(k))
56             P(k,:) =zeros(n,1);
57         else
58             P(k,:)=((A(k,:)*auxproj-b(k))/(l*A(k,:)*A(k,:)'))*A(k
59             ,:);
60         end
61     end
62     end
63
64     j++
65 endwhile
66
67 %norma de x-xant
68 semilogy(c(3:j-1));

```


3.4 Triângulo Equilátero

Seja o politopo T um triângulo equilátero dado pela intersecção dos seguintes hiperplanos, ou retas do plano:

$$\text{Hiperplano 1: } -\sqrt{3}x_1 + x_2 \leq 0.$$

$$\text{Hiperplano 2: } \sqrt{3}x_1 + x_2 \leq \sqrt{3}.$$

$$\text{Hiperplano 3: } -x_2 \leq 0.$$

Temos que T é dado por todos os pontos $x = (x_1, x_2)$ que satisfazem a seguinte desigualdade matricial:

$$Ax \leq b,$$

em que

$$A = \begin{bmatrix} -\sqrt{3} & 1 \\ \sqrt{3} & 1 \\ 0 & -1 \end{bmatrix} \text{ e } b = \begin{bmatrix} 0 \\ \sqrt{3} \\ 0 \end{bmatrix}$$

A Figura 5 ilustra o politopo T .

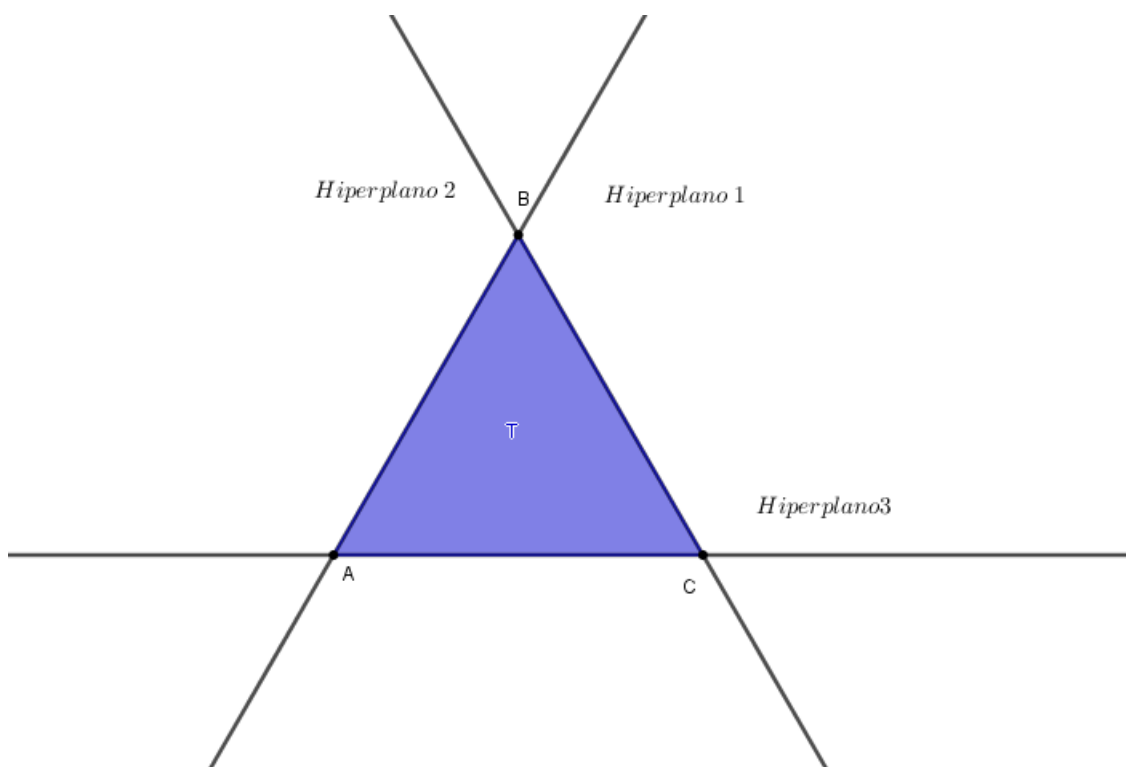


Figura 5: Politopo T : Triângulo Equilátero.

3.4.1 Teste 1: Comportamento da solução ao variar o parâmetro λ

Seja o problema de encontrar a projeção $x = P_T(z)$ no polítopo T , com uma tolerância de 10^{-8} (medida por $|x^{m+1} - x^m| < 10^{-8}$), sendo $z = (2, 0)^T$, $p_1^0 = (1, 0)^T$, $p_2^0 = (0.5, 0.5)^T$ e $p_3^0 = (0, 1)^T$.

Os resultados obtidos foram:

λ	nº de iterações	$(x^*)^T$	$(p_1^*)^T$	$(p_2^*)^T$	$(p_3^*)^T$
0.5	–	diverge	-	-	-
1.0	31	(1, 0)	(0, 0)	(1.00000, 0.57735)	(0, -0.57735)
1.5	46	(1, 0)	(0, 0)	(1.00000, 0.57735)	(0, -0.57735)
1.6	49	(1, 0)	(0, 0)	(1.00000, 0.57735)	(0, -0.57735)
1.7	52	(1, 0)	(0, 0)	(1.00000, 0.57735)	(0, -0.57735)
1.8	55	(1, 0)	(0, 0)	(1.00000, 0.57735)	(0, -0.57735)
1.9	58	(1, 0)	(0, 0)	(1.00000, 0.57735)	(0, -0.57735)
2.0	62	(1, 0)	(0, 0)	(1.00000, 0.57735)	(0, -0.57735)
10	291	(1, 0)	(0, 0)	(1.00000, 0.57735)	(0, -0.57735)
100	2466	(1, 0)	(0, 0)	(1.00000, 0.57735)	(0, -0.57735)

Tabela 1: Solução $(x^*)^T$ e os vetores finais obtidos $(p_i^*)^T, i = 1, 2, 3$ durante o Teste 1 no polítopo T .

3.4.2 Teste 2: Comportamento da solução ao variar os vetores $p_i^0, i = 1, 2, 3$

Seja o problema de encontrar a projeção $x = P_T(z)$ no polítopo T , com uma tolerância de 10^{-8} , sendo $z = (2, 0)^T$ e $\lambda = 2.0$.

- Para os valores $p_1^0 = (1, 0)^T, p_2^0 = (0.5, 0.5)^T$ e $p_3^0 = (0, 1)^T$, os resultados obtidos foram:

$(x^*)^T$	$(p_1^*)^T$	$(p_2^*)^T$	$(p_3^*)^T$	nº de iterações
(1, 0)	(0, 0)	(1.00000, 0.57735)	(0, -0.57735)	62

Tabela 2: Comportamento da solução $(x^*)^T$ para os vetores iniciais $p_1^0 = (1, 0)^T, p_2^0 = (0.5, 0.5)^T$ e $p_3^0 = (0, 1)^T$ no polítopo T durante o Teste 2.

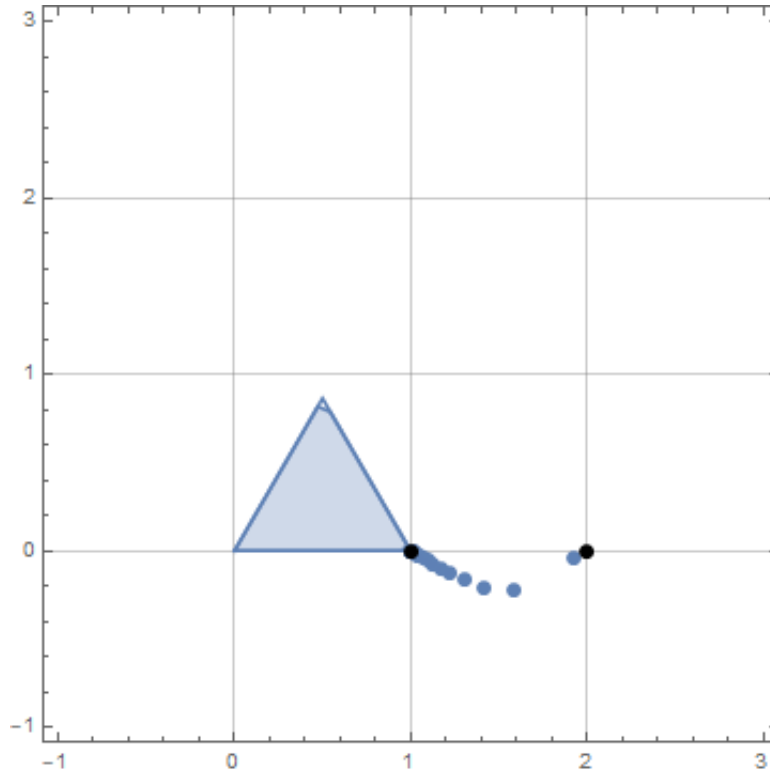


Figura 6: Visualização dos iterados x^m para a inicialização $p_1^0 = (1, 0)^T$, $p_2^0 = (0.5, 0.5)^T$ e $p_3^0 = (0, 1)^T$ ao longo das 62 iterações durante o Teste 2 no politopo T .

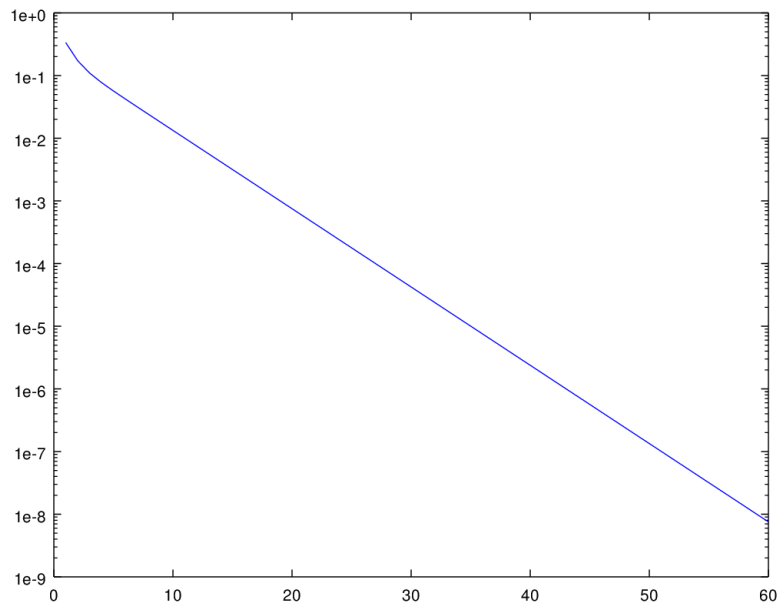


Figura 7: $|x^{m+1} - x^m|$ na escala logarítmica durante o Teste 2 no politopo T para a inicialização $p_1^0 = (1, 0)^T$, $p_2^0 = (0.5, 0.5)^T$ e $p_3^0 = (0, 1)^T$ ao longo das 62 iterações.

- Para os valores $p_1^0 = p_2^0 = p_3^0 = (0, 0)^T$, os resultados obtidos foram:

$(x^*)^T$	$(p_1^*)^T$	$(p_2^*)^T$	$(p_3^*)^T$	nº de iterações
(1, 0)	(0, 0)	(1.000000, 0.57735)	(0, -0.57735)	61

Tabela 3: Comportamento da solução $(x^*)^T$ para os vetores iniciais $p_1^0 = p_2^0 = p_3^0 = (0, 0)^T$ no politopo T durante o Teste 2.

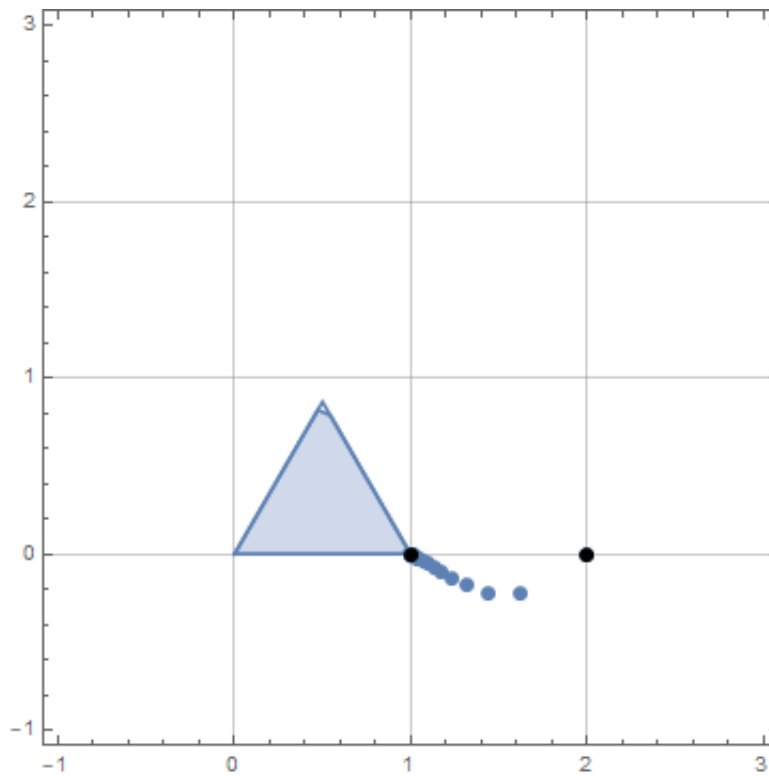


Figura 8: Visualização dos iterados x^m para a inicialização $p_1^0 = p_2^0 = p_3^0 = (0, 0)^T$ ao longo das 61 iterações durante o Teste 2 no politopo T .

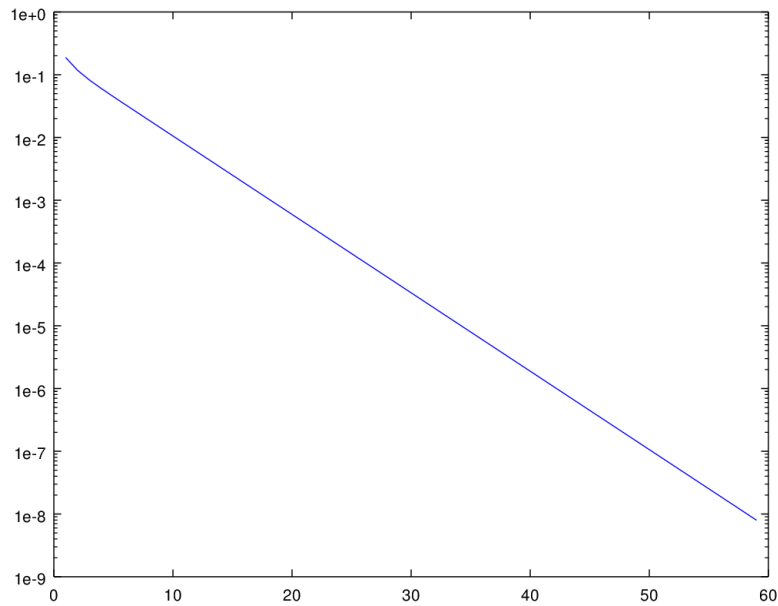


Figura 9: $|x^{m+1} - x^m|$ na escala logaritmica durante o Teste 2 no politopo T para a inicialização $p_1^0 = p_2^0 = p_3^0 = (0, 0)^T$ ao longo das 61 iterações.

- Para os valores $p_1^0 = (2, 1)^T$, $p_2^0 = (4, 11)^T$ e $p_3^0 = (7, -1)^T$, os resultados obtidos foram:

$(x^*)^T$	$(p_1^*)^T$	$(p_2^*)^T$	$(p_3^*)^T$	n° de iterações
(1, 0)	(0, 0)	(1.00000, 0.57735)	(0, -0.57735)	73

Tabela 4: Comportamento da solução $(x^*)^T$ para os vetores iniciais $p_1^0 = (2, 1)^T$, $p_2^0 = (4, 11)^T$ e $p_3^0 = (7, -1)^T$ no politopo T durante o Teste 2.

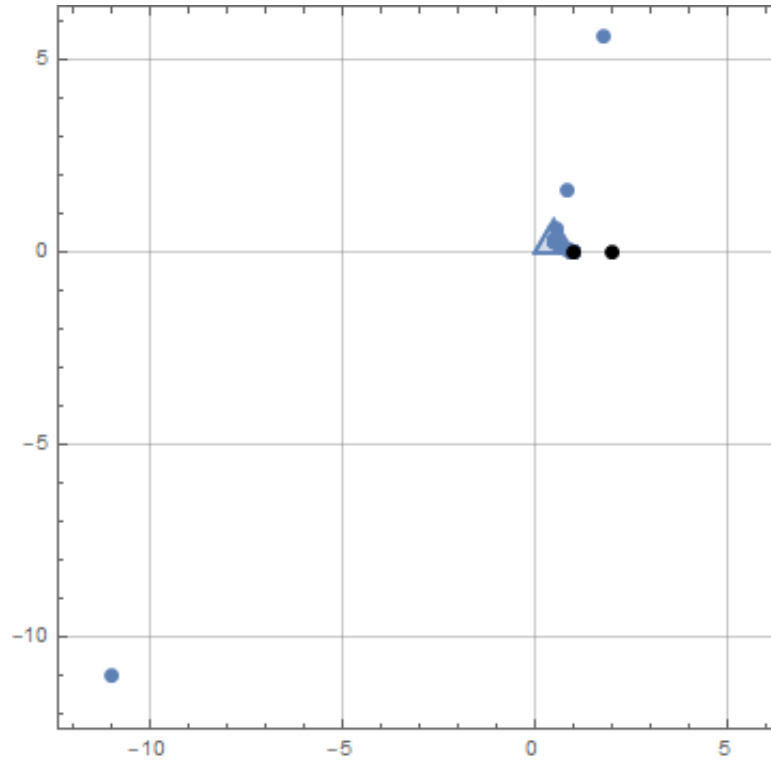


Figura 10: Visualização dos iterados x^m para a inicialização $p_1^0 = (2, 1)^T$, $p_2^0 = (4, 11)^T$ e $p_3^0 = (7, -1)^T$ ao longo das 73 iterações durante o Teste 2 no politopo T .

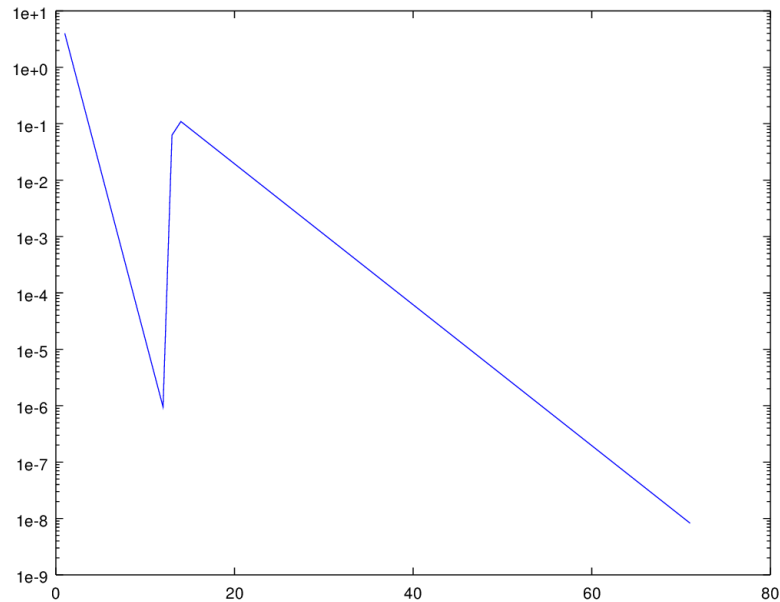


Figura 11: $|x_{m+1} - x_m|$ na escala logarítmica durante o Teste 2 no politopo T para a inicialização $p_1^0 = (2, 1)^T$, $p_2^0 = (4, 11)^T$ e $p_3^0 = (7, -1)^T$ ao longo das 73 iterações.

- Para os valores $p_1^0 = (12, 0)^T$, $p_2^0 = (-1, -3)^T$ e $p_3^0 = (0, 7)^T$, os resultados obtidos foram:

$(x^*)^T$	$(p_1^*)^T$	$(p_2^*)^T$	$(p_3^*)^T$	n° de iterações
(1, 0)	(0, 0)	(1.00000, 0.57735)	(0, -0.57735)	62

Tabela 5: Comportamento da solução $(x^*)^T$ para os vetores iniciais $p_1^0 = (12, 0)^T$, $p_2^0 = (-1, -3)^T$ e $p_3^0 = (0, 7)^T$ no politopo T durante o Teste 2.

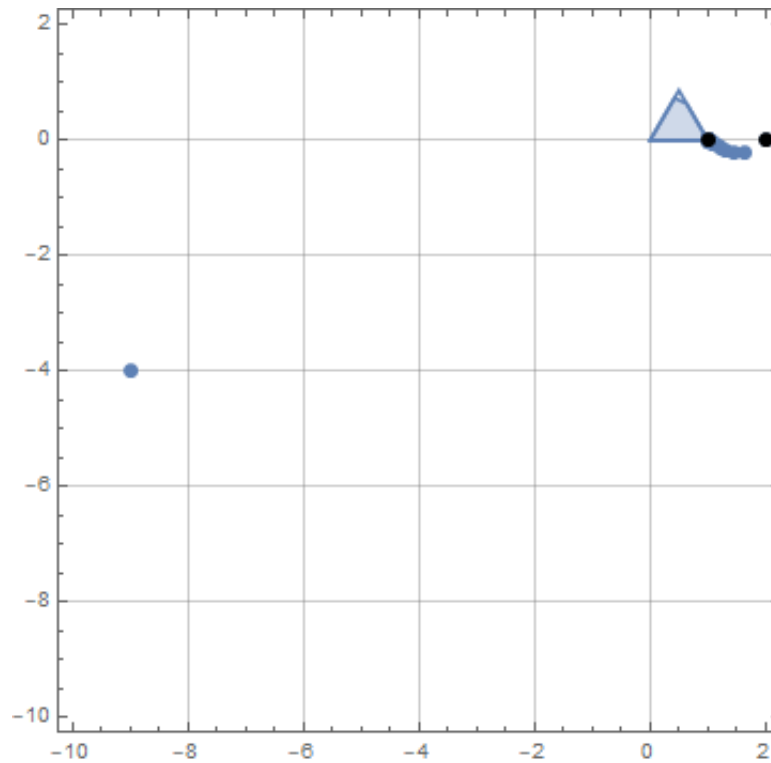


Figura 12: Visualização dos iterados x^m para a inicialização $p_1^0 = (12, 0)^T$, $p_2^0 = (-1, -3)^T$ e $p_3^0 = (0, 7)^T$ ao longo das 62 iterações durante o Teste 2 no politopo T .

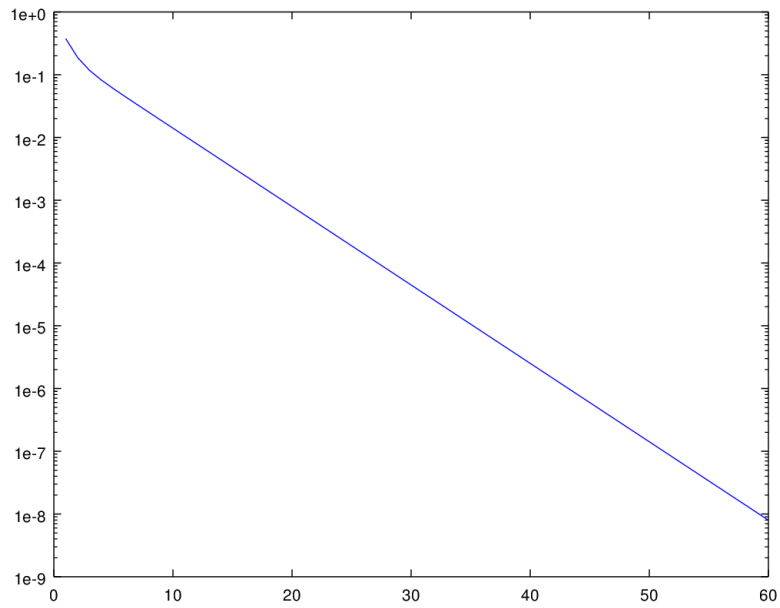


Figura 13: $|x_{m+1} - x_m|$ na escala logaritmica durante o Teste 2 no politopo T para a inicialização $p_1^0 = (12, 0)^T$, $p_2^0 = (-1, -3)^T$ e $p_3^0 = (0, 7)^T$ ao longo das 62 iterações.

3.5 Quadrilátero

Agora o politopo Q é o quadrilátero dado pela intersecção dos seguintes hiperplanos:

Hiperplano 1: $7x_1 + 9x_2 \leq 50$.

Hiperplano 2: $x_1 - 6x_2 \leq 29$.

Hiperplano 3: $-x_1 - x_2 \leq 6$.

Hiperplano 4: $-5x_1 + 7x_2 \leq 18$.

Temos que Q é dado por todos os pontos $x = (x_1, x_2)$ que satisfazem à seguinte desigualdade matricial:

$$Ax \leq b,$$

em que

$$A = \begin{bmatrix} 7 & 9 \\ 1 & -6 \\ -1 & -1 \\ -5 & 7 \end{bmatrix} \text{ e } b = \begin{bmatrix} 50 \\ 29 \\ 6 \\ 18 \end{bmatrix}$$

A Figura 14 ilustra o politopo Q .

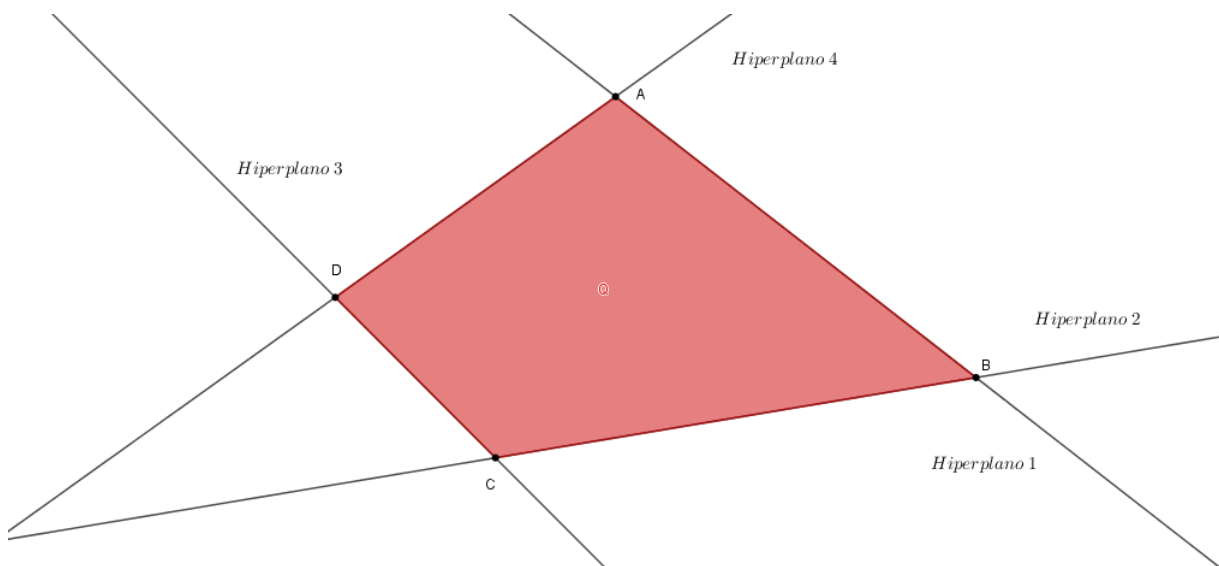


Figura 14: Politopo Q : Quadrilátero.

3.5.1 Teste 1: Comportamento da solução ao variar o parâmetro λ

Seja o problema de encontrar a projeção $x = P_Q(z)$ no polítopo Q , com uma tolerância de 10^{-8} (medida por $|x^{m+1} - x^m| < 10^{-8}$), sendo $z = (11, 0)^T$, $p_1^0 = (2, 1)^T$, $p_2^0 = (4, 11)^T$, $p_3^0 = (7, -1)^T$ e $p_4^0 = (1, 1)^T$. Temos o seguinte comportamento:

λ	nº de iterações	$(x^*)^T$	$(p_1^*)^T$	$(p_2^*)^T$	$(p_3^*)^T$	$(p_4^*)^T$
0.5	–	<i>diverge</i>	–	–	–	–
1.0	7	(9.5462, -1.8692)	(1.45385, 1.86923)	(0, 0)	(0, 0)	(0, 0)
1.5	20	(9.5462, -1.8692)	(1.45385, 1.86923)	(0, 0)	(0, 0)	(0, 0)
2.0	30	(9.5462, -1.8692)	(1.45385, 1.86923)	(0, 0)	(0, 0)	(0, 0)
2.1	32	(9.5462, -1.8692)	(1.45385, 1.86923)	(0, 0)	(0, 0)	(0, 0)
2.2	34	(9.5462, -1.8692)	(1.45385, 1.86923)	(0, 0)	(0, 0)	(0, 0)
2.3	35	(9.5462, -1.8692)	(1.45385, 1.86923)	(0, 0)	(0, 0)	(0, 0)
2.4	37	(9.5462, -1.8692)	(1.45385, 1.86923)	(0, 0)	(0, 0)	(0, 0)
2.5	39	(9.5462, -1.8692)	(1.45385, 1.86923)	(0, 0)	(0, 0)	(0, 0)
10	160	(9.5462, -1.8692)	(1.45385, 1.86923)	(0, 0)	(0, 0)	(0, 0)
100	1287	(9.5462, -1.8692)	(1.45385, 1.86923)	(0, 0)	(0, 0)	(0, 0)

Tabela 6: Solução $(x^*)^T$ e os vetores finais obtidos $(p_i^*)^T$, $i = 1, 2, 3, 4$ durante o Teste 1 no polítopo Q .

3.5.2 Teste 2: Comportamento da solução ao variar os vetores p_i^0 , $i = 1, 2, 3, 4$

Seja o problema de encontrar a projeção $x = P_Q(z)$ no polítopo Q , com uma tolerância de 10^{-8} , sendo $z = (11, 0)^T$ e $\lambda = 3.0$.

- Para os valores $p_1^0 = (2, 1)^T$, $p_2^0 = (4, 11)^T$, $p_3^0 = (7, -1)^T$ e $p_4^0 = (1, 1)^T$, os resultados obtidos foram:

$(x^*)^T$	$(p_1^*)^T$	$(p_2^*)^T$	$(p_3^*)^T$	$(p_4^*)^T$	nº de iterações
(9.5462, -1.8692)	(1.45385, 1.86923)	(0, 0)	(0, 0)	(0, 0)	48

Tabela 7: Comportamento da solução $(x^*)^T$ para a inicialização $p_1^0 = (2, 1)^T$, $p_2^0 = (4, 11)^T$, $p_3^0 = (7, -1)^T$ e $p_4^0 = (1, 1)^T$ no polítopo Q durante o Teste 2.

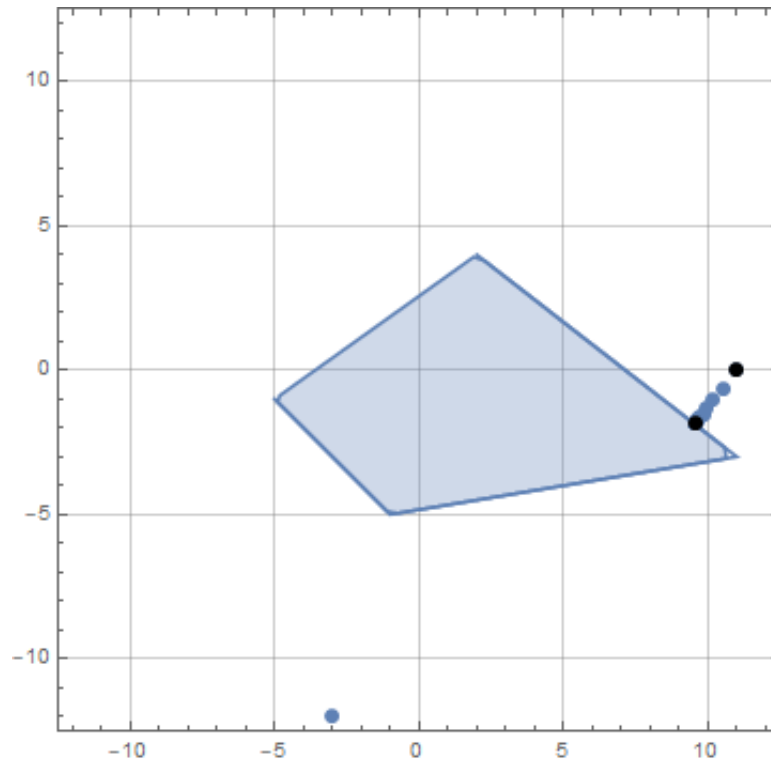


Figura 15: Visualização dos iterados x^m para a inicialização $p_1^0 = (2, 1)^T$, $p_2^0 = (4, 11)^T$, $p_3^0 = (7, -1)^T$ e $p_4^0 = (1, 1)^T$ ao longo das 48 iterações durante o Teste 2 no polítopo Q .

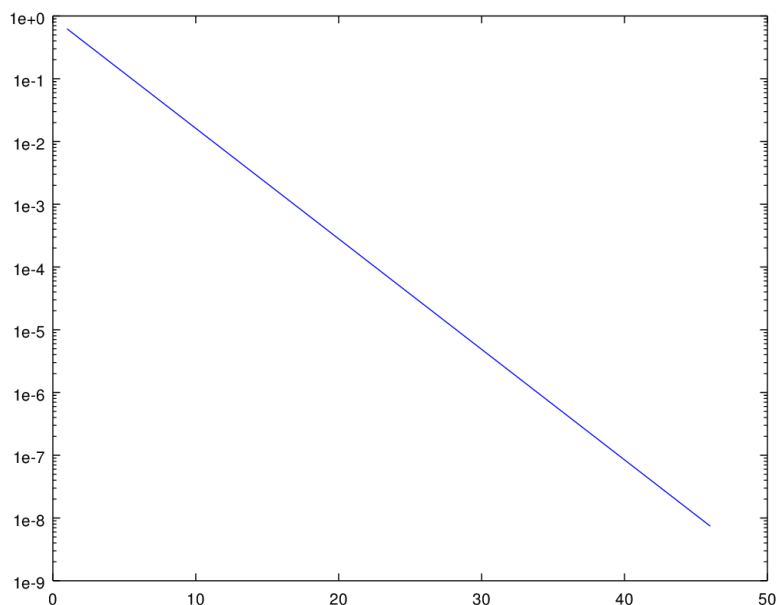


Figura 16: $|x_{m+1} - x_m|$ na escala logaritmica durante o Teste 2 no politopo Q para a inicialização $p_1^0 = (2, 1)^T, p_2^0 = (4, 11)^T, p_3^0 = (7, -1)^T$ e $p_4^0 = (1, 1)^T$ ao longo das 48 iterações.

- Para os valores $p_1^0 = (12, 0)^T, p_2^0 = (-1, -3)^T, p_3^0 = (0, 7)^T$ e $p_4^0 = (2, 5)^T$, os resultados obtidos foram:

$(x^*)^T$	$(p_1^*)^T$	$(p_2^*)^T$	$(p_3^*)^T$	$(p_4^*)^T$	n° de iterações
(9.5462, -1.8692)	(1.45385, 1.86923)	(0, 0)	(0, 0)	(0, 0)	50

Tabela 8: Comportamento da solução $(x^*)^T$ para a inicialização $p_1^0 = (12, 0)^T, p_2^0 = (-1, -3)^T, p_3^0 = (0, 7)^T$ e $p_4^0 = (2, 5)^T$ no politopo Q durante o Teste 2.

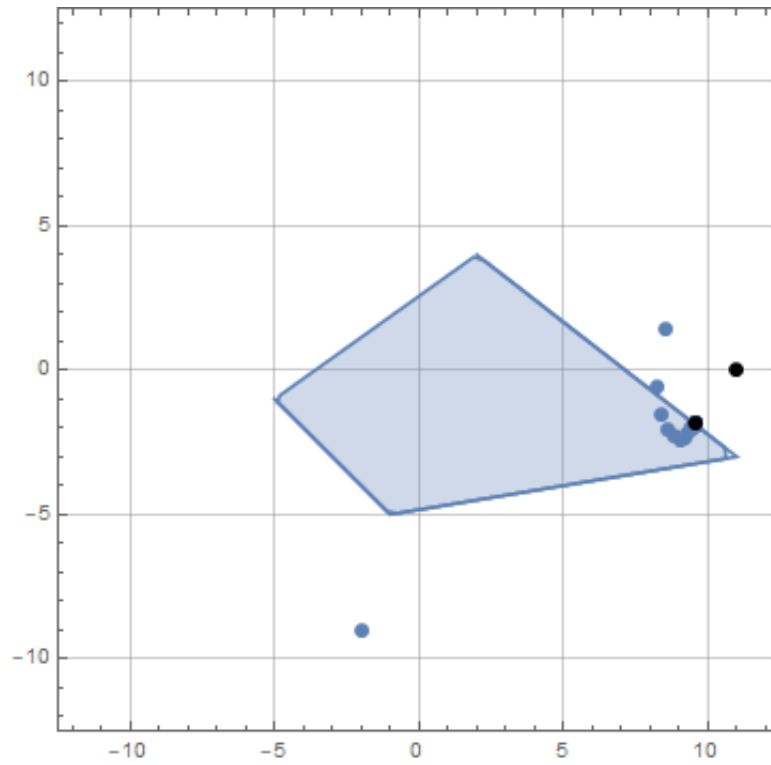


Figura 17: Visualização dos iterados x^m para a inicialização $p_1^0 = (12, 0)^T, p_2^0 = (-1, -3)^T, p_3^0 = (0, 7)^T$ e $p_4^0 = (2, 5)^T$ ao longo das 50 iterações durante o Teste 2 no polítopo Q .

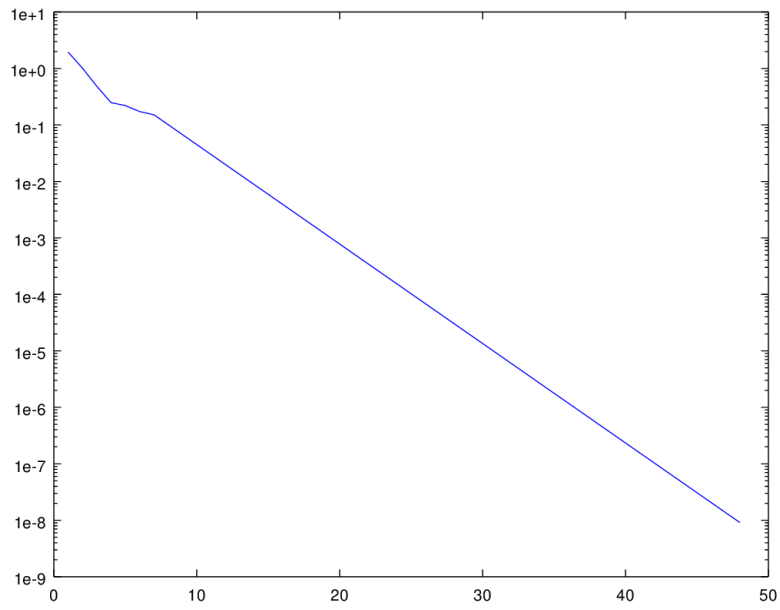


Figura 18: $|x_{m+1} - x_m|$ na escala logaritmica durante o Teste 2 no politopo Q para a inicialização $p_1^0 = (12, 0)^T$, $p_2^0 = (-1, -3)^T$, $p_3^0 = (0, 7)^T$ e $p_4^0 = (2, 5)^T$ ao longo das 50 iterações.

4 Resultados obtidos e considerações finais

4.1 A variação de λ

Os testes realizados permitiram verificar que, de fato, o algoritmo converge para valores de $\lambda > \frac{s}{2}$ mas não somente para esses valores, como é o que ocorre com o valor $\lambda = 1$ no Teste 1 tanto no cálculo da projeção no politopo T como no politopo Q .

Os vetores finais obtidos $(x^*)^T$ e $(p_i^*)^T, i = 1, \dots, s$ são os mesmos para todos os distintos valores de λ que fazem o algoritmo convergir.

Ainda foi possível perceber que quanto maior o valor do parâmetro, menor é a velocidade de convergência do algoritmo, ou seja, são necessárias mais iterações para obter o mesmo resultado com a tolerância dada.

4.2 A variação dos vetores $p_i^0, i = 1, \dots, s$

Do mesmo modo que os distintos valores de λ fazem o algoritmo convergir para as mesmas soluções $(x^*)^T$ e $(p_i^*)^T, i = 1, \dots, s$, a variação dos vetores iniciais $p_i^0, i = 1, \dots, s$ também.

Alem disso, os testes permitiram constatar que o modo como isso ocorre é distinto: em alguns casos a sequência x^m entra na região interna do politopo (Figura 10 e Figura 17), e em outros não (Figura 6, Figura 8, Figura 12 e Figura 15).

Com o auxílio dos gráficos de $|x_{m+1} - x_m|$ na escala logarítmica também podemos perceber que, para as situações em que a sequência x^m entra na região interna do politopo, os primeiros sofrem uma perturbação e depois passam a ser lineares como nos outros casos (Figura 11 e Figura 18).

Perceber que a sequência x^m pode entrar na região interna causou uma certa estranheza a princípio pelo fato de ser um algoritmo de projeção e o ponto a ser projetado estar fora da mesma região. No entanto, essa diferença ocorre pois o algoritmo foi construído de maneira a satisfazer 2 e 3.

4.3 Planos futuros

O estudo desenvolvido nesse projeto foi muito interessante e enriquecedor. Isso, pois, apesar das dificuldades ou por causa delas, foi necessário um maior aprofundamento em conceitos considerados básicos de *Geometria Analítica* e de *Algebra Linear* e em alguns recursos computacionais como o *GNU Octave*, o *GeoGebra* e o *Wolfram Mathematica*.

No entanto, o curto período de tempo possibilitou apenas algumas análises das muitas que foram desejadas. Ficam ainda os planos futuros:

- Fazer um estudo mais amplo da convergência do algoritmo;
- Propor testes mais elaborados;
- Automatizar a geração de politopos 2D e 3D;
- Explorar a geração aleatória de pontos a serem projetados e discutir regiões de convergência.

Referências

- [1] Geogebra. <http://ogeogebra.com.br/site/>. último acesso em: 13/06/2018.
- [2] Gnu octave. <https://www.gnu.org/software/octave/>. último acesso em: 13/06/2018.
- [3] Wolfram mathematica. <https://www.wolfram.com/mathematica/>. último acesso em: 13/06/2018.
- [4] J.B. Hiriart-Urruty and C. Lemarechal. *Convex Analysis and Minimization Algorithms I*. Springer Berlin Heidelberg, 1993.
- [5] C. Llanas, B. e Moreno. Finding the projection on a polytope: An iterative method. *Computers and Mathematics with Applications*, 32(8):33 – 39, 1996.